

УДК 536.632

## Плотность и вязкость растворов хладагент R600a / минеральное масло / фуллерены C<sub>60</sub>

*С. А. Мороз, Н. Н. Лукьянов, В. П. Железний*

Одесская национальная академия пищевых технологий, ул. Канатная 112, г. Одесса, 65039, Украина

В статье представлены результаты экспериментального исследования температурной и концентрационной зависимостей плотности и вязкости, растворов хладагент R600a/минеральное масло ХФ16-12/ фуллерены C<sub>60</sub>. Измерения плотности выполнены пикнометрическим методом в диапазоне температур 258-353 К. Вязкость измерена методом катящегося шарика в интервале температур 253-283 К. На основании полученных экспериментальных данных выполнен анализ влияния примесей компрессорного масла и фуллеренов C<sub>60</sub> на плотность и вязкость хладагента R600a. Показано, что примеси фуллеренов способствуют понижению вязкости рабочего тела (хладагент R600a/минеральное масло ХФ16-12) во всем интервале параметров исследования. Рабочее тело - R600a/минеральное масло ХФ16-12/ фуллерены C<sub>60</sub> рекомендуется для использования в бытовой холодильной технике.

**Ключевые слова:** Растворы; Хладагент; Фуллерены; Эксперимент; Плотность; Вязкость; Концентрация

## Густина і в'язкість розчинів холодоагент R600a / мінеральне масло / фулерени C<sub>60</sub>

*С. О. Мороз, М. М. Лук'янов, В. П. Железний*

Одеська національна академія харчових технологій, вул. Канатна 112, м. Одеса, 65039, Україна

У статті представлені результати експериментального дослідження температурної і концентраційної залежності густини і в'язкості, розчинів холодоагент R600a / мінеральне масло ХФ16-12 / фулерени C<sub>60</sub>. Вимірювання густини виконані пикнометричним методом в діапазоні температур 258-353 К. В'язкість виміряна методом кульки, що котиться в інтервалі температур 253-283 К. Робоче тіло – R600a / мінеральне масло ХФ16-12 / фулерени C<sub>60</sub> рекомендується для використання в побутовій холодильній техніці. На підставі отриманих експериментальних даних виконано аналіз впливу домішок компресорного масла і фулеренів C<sub>60</sub> на густину і в'язкість холодоагенту R600a. Показано, що домішки фулеренів сприяють зниженню в'язкості робочого тіла холодоагент R600a / мінеральне масло ХФ16-12 у всьому інтервалі параметрів дослідження.

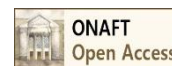
**Ключові слова:** Розчини; Холодоагент; Фулерени; Експеримент; Густина; В'язкість; Концентрація

DOI: <http://dx.doi.org/10.15673/ret.v53i1.544>

This is an open access article under the Creative Commons Attribution 4.0 International License (CC BY)

<http://creativecommons.org/licenses/by/4.0/>

© The Author(s) 2017.



### 1 Введение

В настоящее время включение наночастиц в состав рабочего тела компрессионной холодильной системы рассматривается как один из перспективных методов повышения показателей эффективности холодильной техники [1]. Наиболее часто наночастицы добавляют в компрессорные масла, которые в свою очередь являются необходимым компонентом реального рабочего тела (РРТ) в парокомпрессионном холодильном оборудовании [1-3]. Ряд авторов [1-4] отмечают, что повышение показателей энергетической эффективности холодильного оборудования достигается как за счет изменения теплофизиче-

ских свойств реального рабочего тела (раствора хладагент/масло (РХМ), так и уменьшения трения в сопрягаемых деталях компрессорной системы и интенсификации процессов теплообмена в аппаратах холодильного оборудования.

Проблема учета влияния наночастиц на вязкость технических жидкостей рассматривалась во многих работах. Так авторы статьи [5] привели результаты исследования вязкости TiO<sub>2</sub>/этиленгликоль, при концентрациях 0,5-8,0 масс. % и температуре 20-60°C. Приведенные данные показывают, что вязкость раствора увеличилась с увеличением концентрации наночастиц. Вязкость изученных растворов сильно зависела от температуры и концентрации наночастиц.

В работе [6] авторы представили результаты исследования влияния сурфактантов SDBS на вязкость растворов  $Al_2O_3$ /вода при концентрациях  $Al_2O_3$  0,04-0,16 масс. % и температурах 30-70°C. Результаты этих исследований показывают, что основной эффект на вязкость оказывают сурфактанты и температура. Напротив, влияние наночастиц на вязкость изученных растворов было незначительным.

Авторы работы [7] представили данные о вязкости нанофлюидов  $SiO_2$ /вода и  $Al_2O_3$ /вода. Результаты этого исследования показывают, что вязкость изученных растворов увеличилась с возрастанием концентрации наночастиц.

Рудяк В.Я. в работе [8] приводит результаты исследования вязкости на основе дистиллированной воды с частицами оксида меди. Приведенные данные показывают, с уменьшением размера наночастиц вязкость нанофлюидов увеличивается. Причем, при объемной концентрации наночастиц оксида меди 0,25%, жидкость становится неньютоновской.

Ряд исследователей отмечает, что выбор базовой жидкости не имеет существенного влияния на относительное изменение вязкости нанофлюидов. Например, нанофлюиды  $Al_2O_3$ /этиленгликоль и  $Al_2O_3$ /вода имеют аналогичный прирост вязкости базовых жидкостей [9].

Этот вывод не является бесспорным. Например, авторы работы [10] обнаружили различный прирост вязкости для двух вышеуказанных наножидкостей.

Данные о влиянии наночастиц на вязкость базовых жидкостей носят очень противоречивый характер. Так, например, в статьях [9] и [11] авторы обнаружили близкие значения увеличения вязкости для водных растворов, содержащих 5 об. %  $Al_2O_3$ . Напротив, в работе [12, 13] авторы обнаружили различный прирост вязкости для одного и того же типа наножидкостей. В работе [14] авторы отмечают, что вязкость наножидкостей сильно зависит от свойств базовой жидкости, но слабо зависит от материала наночастиц.

Некоторые авторы в своих работах [15-17] показывают, что относительная вязкость не зависит от температуры. Ряд авторов, например, [18-20] отмечают, что вязкость наножидкостей уменьшается нелинейно или экспоненциально с увеличением температуры.

С последним выводом не согласны некоторые авторы. Например, ряд исследователей [15, 21] указывают на линейное увеличение вязкости с увеличением объемных концентраций наночастиц. Напротив, другие авторы [16, 22, 23] отмечают нелинейный характер изменения вязкости от концентрации наночастиц. Причем, для одних тех же наножидкостей с одинаковой концентрацией наночастиц иногда проявляется разное увеличение вязкости.

Среди авторов, которые изучают вязкость нанофлюидов, отсутствует общее мнение о влиянии размера частиц на вязкость наножидкостей. Некоторые исследователи сообщают, что размер частиц не оказывает существенного влияния на вязкость [15]. Однако большая часть исследователей отмечают, что размер наночастиц и их форма оказывают заметное влияние на вязкость базовых жидкостей. Например, авторы работ

[19, 24-26] утверждают, что вязкость нанофлюидов увеличивается с уменьшением размера наночастиц. Напротив, другие авторы [22, 23, 27] считают, что имеется обратная тенденция изменения вязкости за счет увеличения размера частиц.

Следует заметить, что в литературе практически отсутствует информация о влиянии наночастиц на плотность и вязкость реальных рабочих тел для компрессионных холодильных машин [28]. Вместе с тем теплофизические свойства нанофлюидов, которые получены на основе растворов хладагент/масло, необходимы для изучения процессов теплообмена при конденсации и кипении рабочего тела в испарителе холодильной машины.

В ряде публикаций, например [29], авторы отмечают, что процессы теплообмена зависят от присутствия наночастиц в рабочем теле, которые влияют на теплофизические свойства базовых жидкостей, в том числе и на вязкость [29, 30]. Причем увеличение коэффициента теплоотдачи в испарителе обусловлено не только изменениями теплофизических свойств кипящего нанохладагента, но и за счет образования дополнительных центров парообразования [31].

В литературе уже представлено несколько обзоров [30, 32, 33], в которых изучается влияние наночастиц на вязкость базовых жидкостей. Большинство авторов отмечают, что примеси наночастиц способствуют повышению вязкости базовых жидкостей. Причем вязкость нанофлюидов зависит как от температуры и объемной концентрации, так и размеров и формы наночастиц

Однако в литературе до сих пор отсутствуют публикации, посвященные изучению влияния фуллеренов на вязкость рабочих тел. Очевидно, что без достоверных данных по вязкости рабочих тел с примесями наночастиц достаточно сложно интерпретировать экспериментальные данные как по теплообмену в испарителе, так и по затратам энергии на работу компрессора холодильной машины [1].

Кроме того, исследования вязкости растворов хладагент/масло/наночастицы должны способствовать формированию базы справочных данных о теплофизических свойствах технически важных нанофлюидов. В настоящее время в литературе отсутствуют надежные модели для прогнозирования вязкости нанофлюидов [32]. Поэтому формирование базы справочных данных о теплофизических свойствах нанофлюидов будет способствовать разработке научно обоснованных представлений о взаимодействии наночастиц с молекулами базовой жидкости, которые лягут в основу новых моделей прогнозирования свойств нанофлюидов.

Изучение теплофизических свойств нанофлюидов на основе рабочих тел парокомпрессионных холодильных машин является актуальной проблемой, которая требует своего решения. Именно термодинамические и транспортные свойства рабочих тел определяют, как величину показателей эффективности холодильной компрессорной системы, так и интенсивность процессов теплообмена в аппаратах холодильных установок.

## 2 Подготовка образцов

Анализ опубликованных работ, посвященных изучению вязкости нанофлюидов [32, 33], показывает, что подготовка образцов является, ключевым фактором для получения стабильных образцов для проведения исследований.

В настоящей работе компонентами объектов исследования являлись: хладагент R600a (изобутан), компрессорное минеральное масло ХФ16-12 (вязкость при 40°C 16 мм<sup>2</sup>/с) и фуллерены C<sub>60</sub> (Sigma Aldrich) с размером не более 0,7 нм.

Исследование вязкости раствора изобутана R600a, минерального масла ХФ 16-12 с примесями фуллеренов C<sub>60</sub> (w<sub>nano</sub>=0,2 масс. % в масле) проводилось при трех концентрациях масла в ROS: 0,25, 0,5 и 0,75 масс.%. Технология приготовления наномасла заключалась в диспергировании наночастиц C<sub>60</sub> в компрессорном масле в ультразвуковой ванне Codison CD 4800 с частотой 42 кГц в течение 30 минут. Длительное (в течении 1 месяца) наблюдение за компрессорным маслом с добавками наночастиц (наномаслом) показало хорошую агрегативную устойчивость фуллеренов (без выпадения осадка и помутнения). Для приготовления рабочего тела R600a/ХФ16-12/C<sub>60</sub> определенное количество наномасла смешивалось с необходимым количеством хладагента без дополнительного ультразвукового диспергирования.

## 3 Определение плотности растворов хладагент R600a / минеральное компрессорное масло / фуллерены C<sub>60</sub>

Исследование плотности РХМ производилось пикнометрическим методом. Схема экспериментальной установки по исследованию плотности объектов исследования приведена на рисунке 1. Стеклоаннула с исследуемым веществом 3 (пикнометр) помещена в термостат 4, оснащенный теплообменником 2, по которому прокачивается термостатирующая жидкость из термостата 8. При измерении плотности при температурах ниже окружающей среды термостат 8 подключался к холодильной машине (на рисунке 1 не показано). Проведенные исследования показывают, что колебания температуры в термостате 4 не превышали 0,02 К. Измерение сопротивления термометра осуществлялось по компенсационной схеме с использованием мультиметра 7. Температура в проведенных экспериментах измерялась платиновым термометром сопротивления 6 (Wika TR10A) с расширенной неопределенностью не более ±0,05 К. Расширенная неопределенность измерения концентрации примесей масла в РХМ не превышала 0,04% и концентрации фуллеренов в масле не более 1,47%.

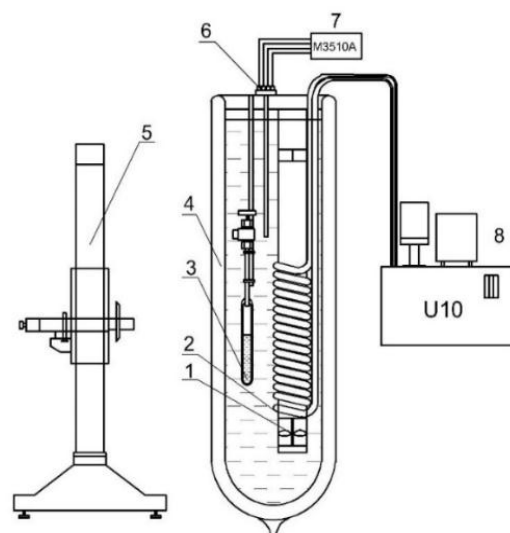
Для измерения уровня жидкой фазы образца РХМ в измерительной ячейке (пикнометре) использовался катетометр 5.

Эксперимент проводился в интервале температур от 258 до 353 К и массовых долей хладагента в масле: 0,25; 0,5 и 0,75 кг/кг. Расширенная неопределенность

измерения плотности РХМ не превышала 6 кг/м<sup>3</sup>. Влияние наночастиц на плотность РХМ рассчитывалось по методике, приведенной в работе [33].

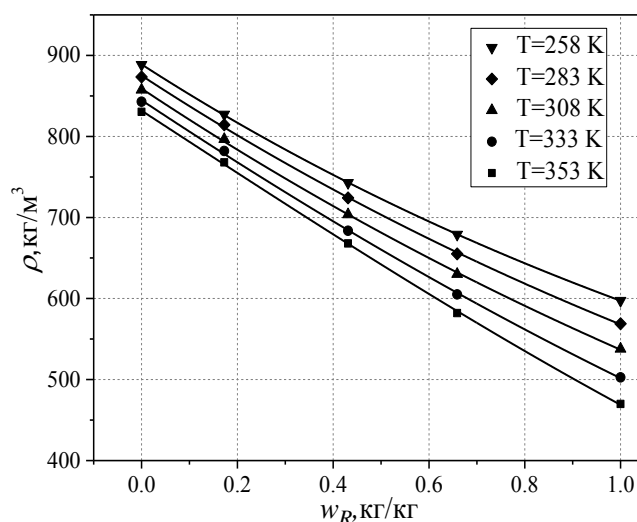
$$\rho_{\text{nanoROS}} = \varphi_{\text{nano}} \cdot \rho_{\text{nano}} + (1 - \varphi_{\text{nano}}) \cdot \rho_{\text{ROS}}, \quad (1)$$

где  $\varphi_{\text{nano}}$  – объемная доля фуллеренов в растворе, м<sup>3</sup>/м<sup>3</sup>;  $\rho_{\text{nano}}$  – плотность фуллеренов, кг/м<sup>3</sup>;  $\rho_{\text{ROS}}$  – плотность ROS, кг/м<sup>3</sup>.



**Рисунок 1** – Экспериментальная установка по исследованию плотности РХМ: 1 – мешалка; 2 – теплообменник; 3 – ячейка с исследуемым веществом; 4 – термостат; 5 – катетометр; 6 – платиновый термометр сопротивления TR10A; 7 – мультиметр M3510A; 8 – термостат U10

Результаты проведенного исследования приведены в таблице 1. Концентрационную зависимость плотности растворов R600a/минеральное масло при различных температурах демонстрирует рисунок 2.



**Рисунок 2** – Концентрационная зависимость плотности растворов R600a/минеральное масло при различных температурах

Таблиця 1 – Экспериментальные данные плотности и вязкости растворов R600a/ХФ16-12 и R600a/ХФ16-12/C<sub>60</sub>

Плотность раствора R600a/масло			Динамическая вязкость раствора R600a/масло			Динамическая вязкость раствора PXM/C <sub>60</sub>			
T, К	$\rho$ , кг/м <sup>3</sup>	w <sub>R</sub> , масс. %	T, К	$\eta$ , мПа·с	w <sub>R</sub> , масс. %	T, К	$\eta$ , мПа·с	w <sub>R</sub> , масс. %	w <sub>C60</sub> , масс. %
258,32	679,4	65,8	255,18	1,99	74,9	255,18	1,95	74,3	0,05
283,21	655,3		265,15	1,82		265,15	1,79		
308,12	630,5		275,10	1,69		275,11	1,66		
333,24	605,1		285,20	1,55		285,28	1,53		
353,22	582,2								
258,15	742,6	43,1	255,18	3,01	47,9	255,18	2,93	47,9	0,1
283,12	724,2		265,15	2,76		265,15	2,70		
308,13	703,4		275,10	2,54		275,12	2,49		
333,32	683,3		285,20	2,37		285,23	2,34		
353,23	668,2								
258,22	827,5	17,2	255,18	5,03	24,9	255,18	4,85	24,9	0,15
283,11	814,3		265,15	4,49		265,15	4,36		
308,33	796,1		275,10	4,00		275,15	3,89		
333,14	782,2		282,50	3,75		285,24	3,63		
353,21	768,2								

#### 4 Измерение вязкости растворов хладагент R600a / минеральное компрессорное масло / фуллерены C<sub>60</sub>

Экспериментальное исследование динамической вязкости –  $\eta$  растворов хладагент/масло и хладагент/масло/фуллерены C<sub>60</sub> выполнено методом катящегося шарика на вискозиметре Гепплера. Схема экспериментальной установки представлена на рисунке 3.

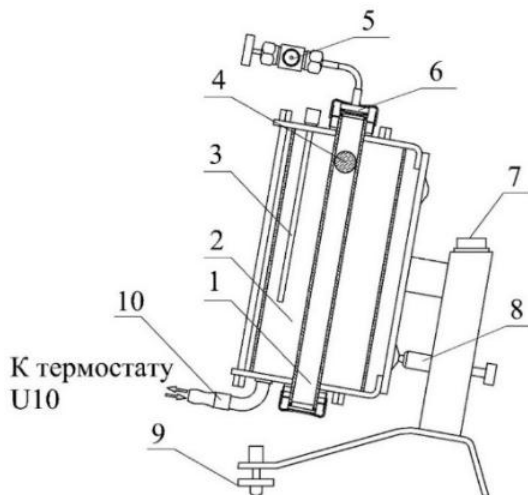


Рисунок 3 - Экспериментальная установка для исследования динамической вязкости PXM и наноPXM методом катящегося шарика:

1 – трубка с исследуемым веществом; 2 – термостат; 3 – платиновый термометр сопротивления ТЕРА 500 Pt; 4 – шарик; 5 – заправочный вентиль; 6 – крышка; 7 – уровень; 8 – фиксирующий шток; 9 – винт для установки уровня; 10 – патрубок для соединения с термостатом.

Измерения вязкости выполнены в диапазоне температур от 253 до 293 К и массовых долей хладагента в масле: для ROS 0,25, 0,5 и 0,75 кг/кг, для ROS/C<sub>60</sub> 0,25, 0,5 и 0,75. Концентрация фуллеренов C<sub>60</sub> в масле составляла 0,2 масс.%. Расширенная неопределенность измерения температуры в проведенных исследованиях не превышала 0,2 К, концентрации примесей масла в ROS 0,04 % и примесей фуллеренов в масле  $\pm 1.47$  %. Результаты экспериментальных данных приведены в таблице 1. Зависимость динамической вязкости растворов R600a/ХФ16-12 и R600a/ХФ16-12/C<sub>60</sub> ( $w_{\text{нано}}=0,2$  масс. % в масле) от концентрации хладагента в жидкой фазе –  $w_R$ , представлена рисунке 4.

Расчет динамической вязкости PXM и наноPXM производился по следующей формуле

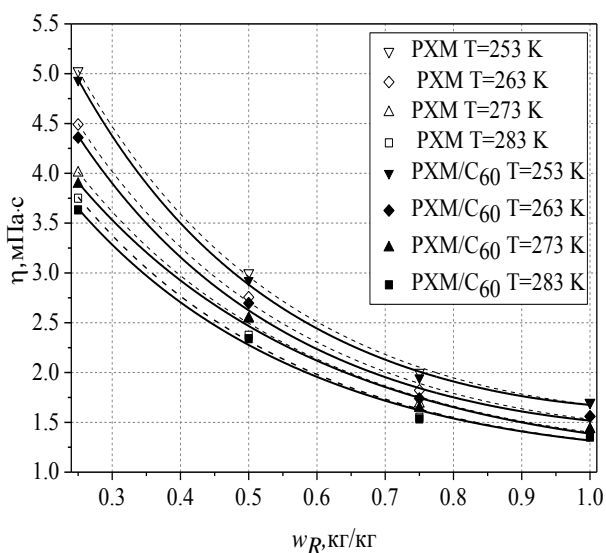
$$\eta = K \cdot (\rho_b - \rho') \cdot \tau, \quad (2)$$

где  $K$  – постоянная прибора, м<sup>2</sup>/с<sup>2</sup>;  $\rho_b$  – плотность шарика, кг/м<sup>3</sup>;  $\rho'$  – плотность жидкой фазы объекта исследования, кг/м<sup>3</sup>;  $\tau$  – время перемещения шарика на заданном участке, с.

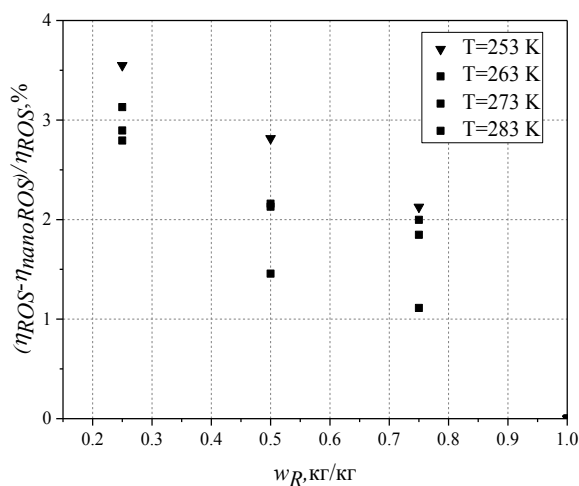
Выполненный анализ показывает, что расширенная неопределенность измерения вязкости PXM и наноPXM в проведенных исследованиях в зависимости от диапазона находится при температуре 253 К равна 0.02 мПа·с и при температуре 283К-0.88 мПа·с.

#### 5 Заключение

Проведенное исследования плотности и вязкости растворов R600a ХФ16-12 и R600a/ХФ16-12/C<sub>60</sub> показывает, что примеси компрессорного масла в хладагенте R600a приводят к значительному увеличению плотности и вязкости. Поскольку концентрация фуллеренов очень незначительна (см. таблицу) их влияние на плотность практически отсутствует. Напротив, влияние фуллеренов на вязкость PXM представляет значительный интерес.



**Рисунок 4** – Зависимость динамической вязкости раствора R600a XФ16-12 и R600a/XФ16-12/C<sub>60</sub> ( $w_{\text{nano}} = 0,2$  масс. % в масле) от концентрации хладагента в жидкой фазе –  $w_R$



**Рисунок 5** – Зависимость относительных отклонений  $(\eta_{\text{ROS}} - \eta_{\text{nanoROS}}) / \eta_{\text{ROS}}$ , для растворов R600a/минеральное масло и R600a/минеральное масло / C<sub>60</sub> ( $w_{\text{nano}} = 0,2$  масс % в масле) от концентрации хладагента в жидкой фазе –  $w_R$

Проведенные исследования показывают, что даже небольшие примеси наночастиц в рабочем теле парокомпрессионной холодильной машины приводят к значительному уменьшению вязкости PXM – от 1% до 3,5%. Этот эффект влияния фуллеренов несомненно имеет позитивное значение. Из полученных экспериментальных данных следует, что уменьшение затрат электроэнергии потребляемой компрессорной системой [1, 34] определяются как уменьшением трения в сопрягаемых деталях компрессора, так и уменьшением вязкости PXM. Уменьшение вязкости растворов хладагент/масло будет также способствовать лучшему уносу примесей масла их испарителя холодильной машины. С учетом высокой стабильности наноплюидов, можно констатировать, что применение примесей

фуллеренов в рабочем теле имеет высокую перспективу внедрения в парокомпрессионной бытовой холодильной технике.

## Литература

1. **Мороз, С.А.** Экспериментальное исследование влияния примесей фуллеренов C<sub>60</sub> в компрессорном масле и величины вязкости масла на показатели эффективности холодильной компрессорной системы [Текст] / С.А. Мороз, О.Я. Хлиева, Н.Н. Лукьянов, В.П. Железный // Вестник Международной академии холода. – 2016. – №41. – С. 41–46.
2. **Kedzierski, M.A.** Effect of CuO Nanoparticle Concentration on R134a-Lubricant Pool Boiling Heat Transfer [Text] / M.A. Kedzierski // Micro-Nanoscale Heat Transfer International Conference, 2008: Proceedings Taiwan – N. Y. – P. 1–8.
3. **Azmi, M. Z.** Potential of nanorefrigerant and nanolubricant on energy saving in refrigeration system [Text] / W. H. Azmi, M. Z. Sharif, T. M. Yusof // Renew. Sust. Energ. Rev. – 2017. – Vol. Issue 69. – P. 415–428.
4. **Wang, R.** Use of nanoparticles to make mineral oil lubricants feasible for use in a residential air conditioner employing hydro-fluorocarbons refrigerants [Text] / R. Wang, Q. Wu, Y. Wu // Energy and Buildings. – 2010. – Vol. 42, Issue 11. – P. 2111–2117.
5. **Chen, H.** Rheological behavior of nanofluids [Text] / H. Chen, Y. Ding, C. Tan. // New Journal of Physics. – 2007. – Vol. 9, Issue 367.P. –24.
6. **Zhu, D.S.** Influence of SDBS on viscosity for aluminium nano-suspensions [Text] / D.S. Zhu, X.F. Li, J.W. Gao, X.J. Wang, H. Li, Z.J. Wu // International Congress of Refrigeration. – 2007. –P.1– 7.
7. **Tavman, I.** Experimental investigation of viscosity and thermal conductivity of suspensions containing nanosized ceramic particles [Text] / I. Tavman, A. Turgut, M. Chirtoc, H.P. Schuchmann, S. Tavman // International Scientific Journal. – 2008. – Vol.34, Issue 2. – P. 99–104.
8. **Гузей, Д. В.** Измерение коэффициента теплоотдачи наножидкости на основе оксида меди в цилиндрическом канале [Текст] / Д. В. Гузей, А. В. Минаков, В. Я. Рудяк, А. А. Дектерев // Письма в ЖТФ. – 2014. – Т.40, №5. – С. 34–42.
9. **Wang X.** Thermal conductivity of nanoparticle–fluid mixture [Text] / X. Wang, X. Xu, S. Choi // J. Thermophys. Heat Transfer. – 1999. – Vol.13, Issue 4. – P. 474–480.
10. **Anoop, K.B.** Rheological and flow characteristics of nanofluids: influence of electroviscous effects and particle agglomeration [Text] / K.B. Anoop, S. Kabelac, T. Sundarajan, S.K. Das. // J. Appl. Phys. – 2009. Vol.106, Issue 3. – P. 0.34909.
11. **Murshed, S.M.S.** Investigations of thermal conductivity and viscosity of nanofluids [Text] / S.M.S. Murshed, K.C. Leong, C. Yang. // Int. J. Therm. Sci.– 2008. – Vol.47, Iss. 5. – P. 560–568.
12. **Murshed, S.M.S.** Temperature dependence of interfacial properties and viscosity of nanofluids for droplet-based microfluidics [Text] / S.M.S. Murshed, S. Tan, N. Nguyen // Journal of Physics. – 2008. – Vol.41, Issue 8. – P. 1–5.

13. **Chandrasekar M.** Experimental investigations and theoretical determination of thermal conductivity and viscosity of  $\text{Al}_2\text{O}_3$ / water nanofluid [Text] / M. Chandrasekar, S. Suresh, A. Chandra. // *Exp. Therm. Fluid Sci.* – 2010. – Vol.34, Issue 2. – P. 210–216.
14. **Timofeeva, E.V.** Nanofluids for heat transfer: an engineering approach [Text] / E.V. Timofeeva, W. Yu, D.M. France, D. Singh, J.L. Routbort // *Nanoscale Res. Lett.* – 2011. – Vol. 6, Issue 182. – P. 1–7.
15. **Prasher, R.** Measurements of nanofluid viscosity and its implications for thermal applications [Text] / R. Prasher, D. Song, J. Wang, P. Phelan. // *Appl. Phys. Lett.* – 2006. – Vol. 89, Issue 13. – P. 133108.
16. **Chen, H.** Rheological behavior of ethylene glycol based titania nanofluids [Text] / H. Chen, Y. Ding, Y. He, C. Tan. // *Chem. Phys. Lett.* – 2007. – Vol.444. – P. 333–337.
17. **Chen, H.** Rheological behaviour of nanofluids [Text] / H. Chen, Y. Ding, C. Tan. // *New J. Phys.* – 2007. – Vol. 9, Issue 367 – P. 1-24.
18. **Kole, M.** Viscosity of alumina nanoparticles dispersed in car engine coolant [Text] / M. Kole, T. Dey. // *Exp. Therm. Fluid Sci.* – 2010. – Vol.43, Issue 31 – P. 677–683.
19. **Namburu, P.** Experimental investigation of viscosity and specific heat of silicon dioxide nanofluids [Text] / P. Namburu, D. Kulkarni, A. Dandekar, D. Das. // *Micro Nano Lett.* – 2007. – Vol.2, Issue 3. – P. 67–71.
20. **Namburu, P.** Viscosity of copper oxide nanoparticles dispersed in ethylene glycol and water mixture [Text] / P. Namburu, D. Kulkarni, D. Misra, D. Das. // *Exp. Therm. Fluid Sci.* – 2007. – Vol. 32. – P. 397–402.
21. **Garg, J.** Enhanced thermal conductivity and viscosity of copper nanoparticles in ethylene glycol nanofluid [Text] / J. Garg, B. Poudel, M. Chiesa. // *J. Appl. Phys.* – 2008. – Vol.103, Issue 7. – P. 1–6.
22. **Nguyen, C.** Temperature and particle-size dependent viscosity data for water-based nanofluids – hysteresis phenomenon [Text] / C. Nguyen, F. Desgranges, G. Roy. // *Int. J. Heat Fluid Flow.* – 2007. – Vol. 28, Issue 6. – P. 1492–1506.
23. **He, Y.** Heat transfer and flow behaviour of aqueous suspensions of  $\text{TiO}_2$  nanoparticles (nanofluids) flowing upward through a vertical pipe [Text] / Y. He, Y. Jin, H. Chen // *Int. J. Heat Mass Transfer.* – 2007. – Vol. 50. – P. 2272–2281.
24. **Chevalier, J.** Rheological properties of nanofluids flowing through microchannels [Text] / J. Chevalier, O. Tillement, F. Ayela. // *Appl. Phys. Lett.* – 2007. – Vol. 91.
25. **Pastoriza-Gallego, M.** CuO in water nanofluid: influence of particle size and polydispersity on volumetric behavior and viscosity [Text] / M.Pastoriza-Gallego, C. Casanova, J. Legido, M. Piñeiro. // *Fluid Phase Equilib.* – 2011. – Vol. 300. – P. 188–196.
26. **Lu, W.** Study for the particle's scale effect on some thermophysical properties of nanofluids by a simplified molecular dynamics method [Text] / W. Lu, Q. Fan. // *Eng. Anal. Boundary Elem.* – 2008. – Vol. 32. – C. 282-289.
27. **Nguyen, C.** Viscosity data for  $\text{Al}_2\text{O}_3$ -water nanofluid—hysteresis: is heat transfer enhancement using nanofluids reliable [Text] / C. Nguyen, F. Desgranges, N. Galanis // *Int. J. Therm. Sci.* – 2008. – Vol. 47, Issue 2. – C. 103–111.
28. **Zhelezny, V.P.** A complex investigation of the nanofluids R600a-mineral oil $\text{Al}_2\text{O}_3$  and R600a-mineral oil- $\text{TiO}_2$ . Thermophysical properties. [Text] / V.P. Zhelezny, N.N. Lukianov, O.Ya. Khliyeva, A. S. Nikulina, A.V. Melnyk // *Int. J. Refrigeration.* – 2008. – Vol. 74. – P. 486-502.
29. **Никулин, А. Г.** Экспериментальная установка для исследования процессов кипения чистых жидкостей и растворов в свободном объеме [Text] / А. Г. Никулин, Ю. В. Семенюк, Н. Н. Лукьянов. // *Холодильна техніка і технологія.* – 2013. – № 4(144). – С. 12–18.
30. **Железный, В. П.** Методические особенности экспериментального изучения процессов кипения нанофлюидов в свободном объеме [Text] / В. П. Железный, Ю. В. Семенюк, А. Г. Никулин, Н. Н. Лукьянов. // *Вестник Международной академии холода.* – 2014. – № 3. – С. 4–9.
31. **Wang, R.** Use of nanoparticles to make mineral oil lubricants feasible for use in a residential air conditioner employing hydro-fluorocarbons refrigerants [Text] / R. Wang, Q. Wu, Y. Wu. // *Energy and Buildings.* – 2010. – Vol. 42, Issue 11. – P. 2111–2117.
32. **Рудяк, В.Я.** Современное состояние исследований вязкости наножидкостей [Text] / В. Я. Рудяк. // *Вестник НГУ.* – 2015. – Т.10, вып. 1. – С. 5–22.
33. **Xiang-Qi, W.** A Review on Nanofluids – Part I: Theoretical and Numerical Investigations [Text] / W. Xiang-Qi, S. Arun. // *Brazilian Journal of Chemical Engineering.* – 2008. – Vol.25, Issue 4. – P. 613–630.
34. **Meibo, X.** Application of fullerene  $\text{C}_{60}$  nano-oil for performance enhancement of domestic refrigerator compressors [Text] / X. Meibo, W. Ruixiang, Y. Jianlin. // *Int. J. Refrigeration.* – 2014. – Vol.40. – P. 398–403.

Отримана в редакції 10.01.2017, прийнята до друку 07.02.2017

## Density and viscosity of solutions refrigerant R600a / mineral oil / fullerene C<sub>60</sub>

S. A. Moroz, N. N. Lukianov, V. P. Zhelezny✉

Odesa National Academy of Food Technologies, 112 Kanatna str., Odesa, 65039, Ukraine

*The results of an experimental study for the temperature and concentration dependencies of the density and viscosity of solutions of R600a / mineral oil HF16-12 / C60 fullerenes are presented in the paper. The density measurements were performed by a pycnometric method in the temperature range 258-353 K. The viscosity was measured by the rolling ball method in the temperature range 253-283 K. Based on obtained experimental data, the effect of admixtures of compressor oil and additives C<sub>60</sub> fullerenes on the density and viscosity of R600a was analyzed. It was shown that the additives of fullerenes contribute to lowering the viscosity of the working fluid (refrigerant R600a / mineral oil HF16-12) in entire range of experimental parameters. The working fluid R600a / mineral oil HF16-12 / fullerenes C<sub>60</sub> is recommended for application in domestic refrigeration.*

**Keywords:** Solutions; Refrigerant; Fullerenes; Experiment; Density; Viscosity; Concentration

### References

1. Moroz, S.A., Khlieva, O.Ya., Lukianov, N.N., Zhelezny, V.P. (2016) The influence of the compressor oil viscosity and fullerenes C<sub>60</sub> additives in the oil on the energy efficiency of refrigeration compressor system. *Vestnik of the International Academy of Refrigeration*, No.41, 41–46 (in Russian). DOI: <http://doi.org/10.21047/1606-4313-2016-16-1-41-46>
2. Kedzierski, M.A. (2008) Effect of CuO Nanoparticle Concentration on R134a-Lubricant Pool Boiling Heat Transfer. Micro-Nanoscale Heat Transfer International Conference, 2008: Proceedings Taiwan, N. Y., 1–8. DOI: <http://doi.org/10.1115/1.3072926>
3. Azmi, W.H., Sharif, M.Z., Yusof, T.M. (2017) Potential of nanorefrigerant and nanolubricant on energy saving in refrigeration system – A review. *Renew. Sust. Energ. Rev.*, Vol. 69, 415–428. DOI: <http://doi.org/10.1016/j.rser.2016.11.207>
4. Wang, R. Wu Q., Wu Y. 2010. Use of nanoparticles to make mineral oil lubricants feasible for use in a residential air conditioner employing hydro-fluorocarbons refrigerants. *Energy and Buildings*, 42(11), 2111–2117. DOI: <http://doi.org/10.1016/j.enbuild.2010.06.023>
5. Chen, H. Ding Y., Tan C. 2007. Rheological behaviour of nanofluids. *New Journal of Physics*, 9(10), 367. DOI: <http://doi.org/10.1088/1367-2630/9/10/367>
6. Zhu, D.S. Li X.F., Gao J.W., Wang X.J., Li H., Wu Z.J. (2007) Influence of SDBS on viscosity for aluminium nano-suspensions. *International Congress of Refrigeration 2007*, 1–7.
7. Tavman, I., Turgut, A., Chirtoc, M., Schuchmann, H.P., Tavman, S. (2008) Experimental investigation of viscosity and thermal conductivity of suspensions containing nanosized ceramic particles. *International Scientific Journal*, 34(2), 99–104.
8. Guzey, D.V., Minakov, A.V., Rudyak, V. Ya., Dekterev, A.A. (2014) Measurement of the heat transfer coefficient of a nanofluid on the basis of copper oxide in a cylindrical channel *Letters in ZTF*, 40(5), 34-42 (in Russian).
9. Wang, X., Xu, X., Choi, S. (1999) Thermal conductivity of nanoparticle–fluid mixture. *J. Thermophys. Heat Transfer*, 13(4), 474–480. DOI: <https://doi.org/10.2514/2.6486>
10. Anoop, K.B. Rheological and flow characteristics of nanofluids: influence of electroviscous effects and particle agglomeration [Text] / K.B. Anoop, S. Kabelac, T. Sundararajan, S.K. Das. // *J. Appl. Phys.* – 2009. Vol.106, Issue 3. – P. 0.34909. doi: 10.1063/1.3182807
11. Murshed Sohel, S.M. Investigations of thermal conductivity and viscosity of nanofluids [Text] / S.M.S. Murshed, K.C. Leong, C. Yang. // *Int. J. Therm. Sci.*– 2008. – Vol.47, Issue 5. – P. 560–568. doi: 10.1016/j.ijthermalsci.2007.05.004
12. Murshed Sohel, S.M. Temperature dependence of interfacial properties and viscosity of nanofluids for droplet-based microfluidics [Text] / S.M.S. Murshed, S. Tan, N. Nguyen // *Journal of Physics.* – 2008. – Vol.41, Issue 8. – P. 1–5.
13. Chandrasekar M. Experimental investigations and theoretical determination of thermal conductivity and viscosity of Al<sub>2</sub>O<sub>3</sub>/ water nanofluid [Text]/ M. Chandrasekar, S. Suresh, A. Chandra. // *Exp. Therm. Fluid Sci.* – 2010. – Vol.34, Issue 2. – P. 210–216. DOI: 10.1016/j.expthermflusci.2009.10.022
14. Timofeeva, E.V. Nanofluids for heat transfer: an engineering approach [Text] / E.V. Timofeeva, W. Yu, D.M. France, D. Singh, J.L. Routbort // *Nanoscale Res. Lett.* – 2011. – Vol. 6, Issue 182. – P. 1–7. DOI: 10.1186/1556-276X-6-182.
15. Prasher, R. Measurements of nanofluid viscosity and its implications for thermal applications [Text] / R. Prasher, D. Song, J. Wang, P. Phelan. // *Appl. Phys. Lett.* – 2006. – Vol. 89, Issue 13. – P. 133108. doi: 10.1063/1.2356113
16. Chen, H. Rheological behaviour of ethylene glycol based titania nanofluids [Text] / H. Chen, Y. Ding, Y. He, C. Tan. // *Chem. Phys. Lett.* – 2007. – Vol.444. – P. 333–337. doi: 10.1016/j.cplett.2007.07.046
17. Chen, H. Rheological behaviour of nanofluids [Text] / H. Chen, Y. Ding, C. Tan. // *New J. Phys.* – 2007. – Vol.9, Issue 367 – P. 1-24. doi: 10.1088/1367-2630/9/10/367

18. **Kole, M.** Viscosity of alumina nanoparticles dispersed in car engine coolant [Text] / M. Kole, T. Dey. // *Exp. Therm. Fluid Sci.* – 2010. – Vol.43, Issue 31 – P. 677–683. doi: 10.1016/j.expthermflusci.2009.12.009
19. **Namburu, P.** Experimental investigation of viscosity and specific heat of silicon dioxide nanofluids [Text] / P. Namburu, D. Kulkarni, A. Dandekar, D. Das. // *Micro Nano Lett.* – 2007. – Vol.2, Issue 3. – P. 67–71. doi: 10.1049/mnl:20070037
20. **Namburu, P.** Viscosity of copper oxide nanoparticles dispersed in ethylene glycol and water mixture [Text] / P. Namburu, D. Kulkarni, D. Misra, D. Das. // *Exp. Therm. Fluid Sci.* – 2007. – Vol. 32. – P. 397–402. DOI: 10.2298/TSCI140616025K
21. **Garg, J.** Enhanced thermal conductivity and viscosity of copper nanoparticles in ethylene glycol nanofluid [Text] / J. Garg, B. Poudel, M. Chiesa. // *J. Appl. Phys.* – 2008. – Vol.103, Issue 7. – P. 1–6. DOI: 10.1063/1.2902483
22. **Nguyen, C.** Temperature and particle-size dependent viscosity data for water-based nanofluids – hysteresis phenomenon [Text] / C. Nguyen, F. Desgranges, G. Roy. // *Int. J. Heat Fluid Flow.* – 2007. – Vol. 28, Issue 6. – P. 1492–1506. doi: 10.1016/j.ijthermalsci.2008.03.009
23. **He, Y.** Heat transfer and flow behaviour of aqueous suspensions of TiO<sub>2</sub> nanoparticles (nanofluids) flowing upward through a vertical pipe / Y. He, Y. Jin, H. Chen // *Int. J. Heat Mass Transfer.* – 2007. – Vol. 50. – P. 2272–2281. doi: 10.1016/j.ijheatmasstransfer.2006.10.024
24. **Chevalier, J.** Rheological properties of nanofluids flowing through microchannels [Text] / J. Chevalier, O. Tillement, F. Ayela. // *Appl. Phys. Lett.* – 2007. – Vol. 91. doi: <http://dx.doi.org/10.1063/1.2821117>
25. **Pastoriza-Gallego, M.** CuO in water nanofluid: influence of particle size and polydispersity on volumetric behaviour and viscosity [Text] / M.Pastoriza-Gallego, C. Casanova, J. Legido, M. Piñeiro. // *Fluid Phase Equilib.* – 2011. – Vol. 300. – P. 188–196. DOI: 10.1186/1556-276X-6-221
26. **Lu, W.** Study for the particle's scale effect on some thermophysical properties of nanofluids by a simplified molecular dynamics method [Text] / W. Lu, Q. Fan. // *Eng. Anal. Boundary Elem.* – 2008. – Vol. 32. – C. 282–289. doi: 10.1016/j.enganabound.2007.10.006
27. **Nguyen, C.** Viscosity data for Al<sub>2</sub>O<sub>3</sub>–water nanofluid—hysteresis: is heat transfer enhancement using nanofluids reliable [Text] / C. Nguyen, F. Desgranges, N. Galanis // *Int. J. Therm. Sci.* – 2008. – Vol. 47, Issue 2. – C. 103–111. DOI: 10.1016/j.ijthermalsci.2007.01.033
28. **Zhelezny, V.P.** A complex investigation of the nanofluids R600a-mineral oil/Al<sub>2</sub>O<sub>3</sub> and R600a-mineral oil-TiO<sub>2</sub>. Thermophysical properties. [Text] / V.P. Zhelezny, N.N. Lukianov, O.Ya. Khliyeva, A. S. Nikulina, A.V. Melnyk // *Int. J. Refrigeration.* – 2008. – Vol. 74. – P. 486–502. doi: 10.1016/j.ijrefrig.2016.11.008
29. **Nikulin, A.G.** The experimental unit for investigation of pure liquids and solutions pool boiling process [Text] / A.G. Nikulin, Yu. V. Semenyuk, N.N. Lukianov. // *Refrigeration technology and technology.* - 2013. - Vol. 4, Issue 144. - P. 12–18. (in Russian).
30. **Zhelezny, V.P.** Methodical features of the experimental study of the processes of nanofluids pool boiling [Text] / V.P. Zhelezny, Yu. V. Semenyuk, A.G. Nikulin, N.N. Lukianov. // *Vestnik of the International Academy of Refrigeration.* - 2014. - Vol. 3. - P. 4–9. (in Russian).
31. **Wang, R.** Use of nanoparticles to make mineral oil lubricants feasible for use in a residential air conditioner employing hydro-fluorocarbons refrigerants [Text] / R. Wang, Q. Wu, Y. Wu. // *Energy and Buildings.* – 2010. – Vol. 42, Issue 11. – P. 2111–2117. doi: 10.1016/j.enbuild.2010.06.023
32. **Rudiyak, V.Ya.** Modern status of researches of nanofluids viscosity [Text] / V. Ya. Rudiyak. // *Bulletin of NGU.* - 2015. - Vol.10, Issue 1. - P. 5–22. (in Russian).
33. **Xiang-Qi, W.** A Review on Nanofluids – Part I: Theoretical and Numerical Investigations [Text] / W. Xiang-Qi, S. Arun. // *Brazilian Journal of Chemical Engineering.* – 2008. – Vol.25, Issue 4. – P. 613–630.
34. **Meibo, X.** Application of fullerene C<sub>60</sub> nano-oil for performance enhancement of domestic refrigerator compressors [Text] / X. Meibo, W. Ruixiang, Y. Jianlin. // *Int. J. Refrigeration.* – 2014. – Vol.40. – P. 398–403. DOI: 10.1016/j.ijrefrig.2013.12.004

Received 10 January 2017

Approved 07 February 2017

Available in Internet 17 March 2017